

การศึกษาการดีดตัวกลับของแผ่นเชื่อมพ่วงในกระบวนการการดึง - ดัด

The Study for Springback of the Tailor-Welded Strips in Draw-Bending Process

สมพงษ์ เชื้อพระคาน^{1*} และ ติโลก ศรีประพัย^{2*}

¹ คณะวิศวกรรมศาสตร์ มหาวิทยาลัยเทคโนโลยีราชมงคลพระนคร วิทยาเขตพระนครเหนือ

1381 ถ.พิบูลสงคราม แขวงบางซื่อ เขตบางซื่อ กรุงเทพฯ 10800

โทร. 0-2913-2424 โทรสาร 0-2913-2424 # 116 Email: pong_92@yahoo.com

² ภาควิชาวิศวกรรมเครื่องมือ และวัสดุ คณะวิศวกรรมศาสตร์ มหาวิทยาลัยเทคโนโลยีพระจอมเกล้าธนบุรี

91 ถ.ประชาอุทิศ แขวงบางมด เขตทุ่งครุ กรุงเทพฯ 10140

โทร. 0-2470-9219 โทรสาร 0-2872-9080 Email: dilok.sri@kmutt.ac.th

Sompong Chueaprakha^{1*} and Dilok Sriprapai^{2*}

¹ Faculty of Engineering, Rajamangla University of Technology Phra Nakhon

1381 Piboonsongkham Rd., Bangkok 10800 Tel : 0-2913-2424 Fax : 0-2913-2424 # 116

² Department of Tool and Materials Engineering, Faculty of Engineering, King Mongkut's University of Technology

Thonburi 91 Pracha-utid Rd., Bangmod, Tungkru, Bangkok 10140

Tel : 0-2470-9219 Fax : 0-2872-9080 Email: dilok.sri@kmutt.ac.th

บทคัดย่อ

งานวิจัยนี้เป็นการศึกษาการดีดตัวกลับของแผ่นเชื่อมพ่วงในกระบวนการการดึง-ดัด ตามมาตรฐาน SPC 440 ขนาดความหนา 0.8, 1.2, 1.4 และ 1.6 มม. และนำมาเข้ามด้วยกรรมวิธีเลเซอร์ ชนิดเชื่อมแบบคาร์บอนไดออกไซด์ CO₂ ที่ความหนา 0.8t x 1.2t, 0.8t x 1.4t, 0.8t x 1.6t, 1.2t x 1.4t, 1.2t x 1.6 และ 1.4t x 1.6t โดยแบ่งชิ้นทดสอบออกเป็น 2 แบบ คือ 1. แนวเชื่อมตามเส้นกึ่งกลางของชิ้นทดสอบในด้านความกว้าง และ 2. แนวเชื่อมตามเส้นกึ่งกลางของชิ้นทดสอบในด้านความยาว และทำการเรียบเทียบอิทธิพลของการเกิดการดีดตัวกลับ กับตำแหน่งแนวเชื่อม โดยในการทดลองเลือกใช้ รัศมีพันธ์ 2, 4, 6 และ 8 มม. และรัศมีเดียว 4 มม. และเลือกบางกรณีจากการทดลองจริงมาทำการวิเคราะห์ด้วยระบบวิธีไฟน์เติลเมเนต์ ด้วยโปรแกรม PAM – STAMP โดยที่แผ่นเชื่อมพ่วงทำขึ้นจากเหล็กแผ่นรีดเย็น

ผลจากการทดลอง พบร่วม ในการนี้แนวเชื่อมตามความยาวของชิ้นงาน (longitudinally welded strips) การดีดตัวกลับของชิ้นงานจะมีค่าอยู่ระหว่างโลหะแผ่นหนาและแผ่นบางซึ่งเป็นไปตามกฎการผสม (Rule of Mixture) ส่วนในกรณีแนวเชื่อมตรงกลางชิ้นงาน (Centrally welded strips) การดีดตัวกลับจะมีแนวโน้มลดลง โดยสังเกตในด้านที่บาง เมื่อเปรียบเทียบกับด้านที่ความหนาเท่ากันในแผ่นชิ้นทดสอบที่ไม่ได้เชื่อม ส่วนในด้านที่ความหนามากกว่าจะมีการดีดตัวกลับเหมือนกับความหนาเดียวกันที่แผ่นชิ้นทดสอบที่ไม่ได้เชื่อม

คำสำคัญ: การดีดตัวกลับ; แผ่นเชื่อมพ่วง; ตำแหน่งร้อยเชื่อม; ขบวนการดึง-ดัด

Abstract

This research aims to study, the tailor-welded strips in draw-bending processing. The two sheets metal in the welding process was done according to standard SPC 440 with thickness of 0.8 mm, 1.2 mm, 1.4 mm and 1.6 mm respectively. Then these two sheets were welded by using laser weld carbondioxide of 0.8t x 1.2t, 0.8t x 1.4t, 0.8t x 1.6t, 1.2t x 1.4t, 1.2t x 1.6 and 1.4t x 1.6t to investigate by dividing into two different welded strips, one was welded along the centerline of the strip-width and the other was welded long the centerline of the strip-length. Then they were adopted to compare the effect of weld-line locations on the springback. Four

punch profile and die profile radius of 2, 4, 6 and 8 mm., were used. Some selected cases from experiments were simulated using a commercial finite element program, PAM-STAMP

The results revealed that in case of the longitudinally weld strips, springback was generated depending on the properties of thick ress of material according to rule of mixture. And, in case of the centrally weld strips, a significant reduction of the springbanck was reduced which was obviously seen in the thinner side when compared with the same thickness of non-welded strip. On the other hand, the springback of the thocker side was similar to the one of the same thickness which was non-welded strips.

Keywords: Springback; Tailor-welded strips; Weld-line location; Draw-bending processing

1. บทนำ

ปัจจุบัน อุตสาหกรรมทางด้านการผลิตชิ้นส่วนยานยนต์ มีการเจริญเติบโตขึ้นอย่างมากในประเทศไทย พร้อมกับปัญหาวิกฤตการทางด้านพลังงานและสิ่งแวดล้อม ดังนั้นการที่จะทำให้รถยนต์มีน้ำหนักน้อยลง เพื่อประหยัดน้ำมัน แต่ยังคงความแข็งแกร่งของโครงสร้างเหมือนเดิมหรือดีกว่า ด้วยการเลือกใช้วัสดุต่างๆ หลายชนิด เช่น อลูมิเนียม และวัสดุผสมอื่นๆ แต่โลหะในกลุ่มเหล็กยังเป็นทางเลือกที่น่าสนใจ เพราะเนื่องด้วยความแข็งแรง ความสามารถในการขึ้นรูป การเชื่อม การนำกลับมาใช้ใหม่ และราคาถูก ดังนั้นวิธีการที่จะสามารถลดต้นทุนการผลิต จึงมีการที่นำกรรมวิธีการเชื่อม เลเซอร์ชนิดคาร์บอนไดออกไซด์ CO_2 ของวัสดุสองชนิดเข้าด้วยกันโดยที่ ความหนาบางต่างกัน จึงเป็นทางเลือกที่ดีในงานขึ้นรูปโลหะ โดยเฉพาะงานขึ้นรูปดังรูปนี้ วัสดุนี้เรียกว่า แผ่นเชื่อมพ่วง (Tailor weld blank; TWB)

การใช้โลหะแผ่นบางมาทดแทนแผ่นหนาแน่นดังคำนึงถึงระดับความแข็งแรงกล่าวคือ ความมีระดับเดียวกัน แต่ความแข็งตึง (Stiffness) อาจมีค่า น้อยลงได้และค่า (Stiffness) ก็จะส่งผลให้การดีดตัวกลับของเหล็กของเหลืออก ไม่ได้เท่ากันด้วย แต่ในการนี้สามารถใช้การวิเคราะห์และทำนายผลได้ด้วย ซอฟต์แวร์ไฟฟ์ไนท์เอลิเมนต์ เข้าช่วยเหลือ ในขั้นตอนการออกแบบผลิตภัณฑ์ ซึ่งสามารถเลือกได้ทั้งระดับความหนาบาง ของโลหะแผ่น และ หรือ เลือก ตามระดับความแข็งแรงที่ได้ เพื่อลดขั้นตอนการลองผิดลองถูกได้

2. การดำเนินการ

2.1 กฎการผสม

กฎการผสมเป็นกฎเกณฑ์ที่ใช้ในการคำนวณและการพยากรณ์สมบัติของโลหะแผ่นเชื่อมพ่วงได้อย่างง่าย โดยปกติแล้วสมการตั้งต้นที่ใช้ในกฎนี้จะ เป็นไปตามกฎความแข็งเครียด (Hardening law) ของวัสดุแต่ละชิ้นที่นำมาเชื่อมต่อกัน ตามสมการ ลูดวิค-อลโลมอน (Ludwick-Hollomon) ดังสมการที่ 1 และ 2

$$\sigma_1 = K_1 \varepsilon_1^n \quad (1)$$

$$\sigma_2 = K_2 \varepsilon_2^n \quad (2)$$

เมื่อ K และ n เป็นสัมประสิทธิ์ความแข็งแรง และเอกซ์โพเนนท์ ความแข็งเครียด (Strain hardening exponent) หรือค่า n (n -value) ส่วนแลข กับ 1 และ 2 หมายถึงวัสดุชิ้นที่ 1 และ ชิ้นที่ 2 ตามลำดับ และถ้ากฎการผสมนี้เป็นจริงก็จะทำให้การขึ้นรูปของโลหะแผ่นเชื่อมพ่วง P เป็นไปตามสมการที่ 3

$$P = \sigma_1 A_1 + \sigma_2 A_2 + \bar{\sigma}_w A_w \quad (3)$$

เมื่อ A_1 , A_2 และ A_w เป็นพื้นที่หน้าตัดของชิ้นงานเชื่อมชิ้นที่ 1 และชิ้นที่ 2 ตามลำดับ ดังนั้นพุทธิกรรมความแข็งเครียดของแผ่นเชื่อมจึงเปลี่ยนตามแนวเชื่อม ซึ่งทำให้ความสามารถในการรับความเค้นเจิงกล้ายเป็นความเค้นเฉลี่ย $\bar{\sigma}_w$

สมมติให้ความเครียดมีค่าคงที่ตลอดชิ้นงานเชื่อม ดังสมการที่ 4

$$\varepsilon_w = \varepsilon_1 = \varepsilon_2 \quad (4)$$

แทนค่าสมการที่ 1 และ 2 ก็จะสามารถเขียนสมการความเค้นเฉลี่ยได้ดังสมการที่ 5

$$\bar{\sigma}_w = \frac{P - (K_1 \varepsilon_w^n) A_1 - (K_2 \varepsilon_w^n) A_2}{A_w} \quad (5)$$

2.2 วิธีการทดลองมีดังนี้

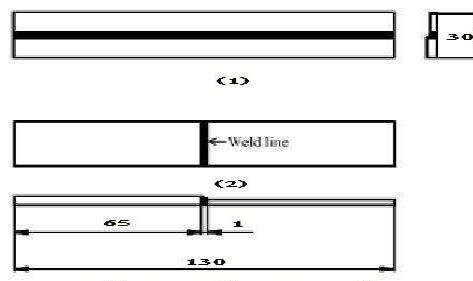
1) ชิ้นงานเป็นแผ่นเรียบใช้เหล็ก SPC 440 ขนาด 0.8, 1.2, 1.4 และ 1.6 มม. ซึ่งมีขนาดความกว้าง 30 มม. และขนาดความยาว 130 มม. และแผ่นเชื่อมพ่วงที่มีขนาด $0.8t \times 1.2t$, $0.8t \times 1.4t$, $0.8t \times 1.6t$, $1.2t \times 1.4t$, $1.2t \times 1.6$ และ $1.4t \times 1.6t$ ทิศทางแนวเชื่อม 2 ทาง ตามรูปที่ 1

2) หลังจากนั้นก็นำไปขึ้นรูปที่เครื่องทดสอบ Universal Sheet Metal Testing Machine ขนาด 350 KN ดังรูปที่ 2

3) ใช้ไฟฟ์ไนท์เอลิเมนต์เข้ามาช่วยในการวิเคราะห์ข้อมูล

4) ทำการวัดองศาการดีดตัวกลับที่เครื่องวัดโปรดิวซ์ฟิล์มโปรดิคเตอร์ ดังรูปที่ 3

5) ทำการเบรียบเทียบชิ้นงานที่เป็นแผ่นเรียบที่ขนาดความหนาเท่ากันกับแผ่นเชื่อมพ่วงและเบรียบเทียบกับการวิเคราะห์ด้วยไฟฟ์ไนท์เอลิเมนต์



รูปที่ 1 แสดงถึงค่าทางแนวเชื่อม (1) ค่าทางแนวเชื่อมตามอย่างชิ้นงาน (2) ค่าทางแนวเชื่อมตามความกว้างชิ้นงาน



ก) เครื่องทดสอบ



ข) องค์ประกอบของพันธ์และ
ด้วย

รูปที่ 2 เครื่องทดสอบ Universal Sheet Metal Testing Machine ขนาด 350 KN

ตารางที่ 1 สมบัติของวัสดุ SPC440

	ขนาด (มม.)			
	0.8	1.2	1.4	1.6
UTS (MPa)	473.093	470	464.54	418.767
Y (Mpa)	31207.79	28072.66	26635.46	24651.46
% Elongation	32.53	33.47	34.4	38.2

ตารางที่ 1 สมบัติของวัสดุ SPC440 (ต่อ)

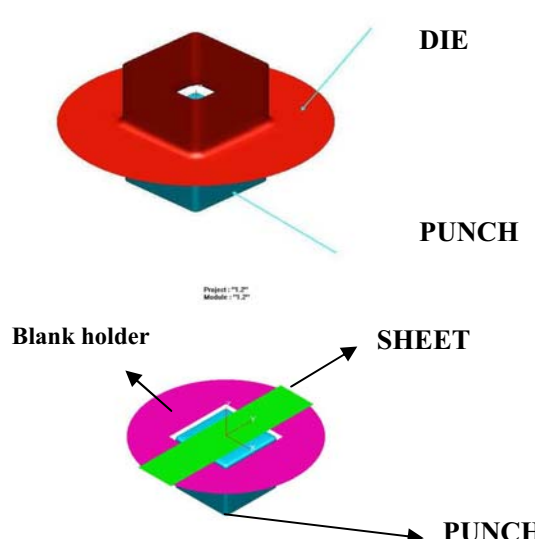
	ขนาด (มม.)			
	0.8/1.2	0.8/1.4	1.2/1.4	1.4/1.6
UTS (MPa)	497.285	469.307	529.869	544.196
Y (Mpa)	16941.89	8624.957	19362.55	19859.21
% Elongation	14.59	15.4	19.2	19.62

*UTS = Ultimate Tensile Strength, Y = Yong's Modulus



รูปที่ 3 เครื่องวัดโปรไฟล์โปรเจ็คเตอร์

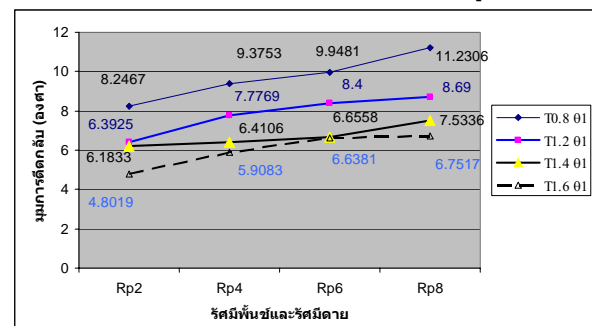
2.3 แบบจำลองที่ใช้ในไฟน์เติร์เอลิเม้นต์และคุณสมบัติของวัสดุ



รูปที่ 4 แบบจำลองไฟน์เติร์เอลิเม้นต์

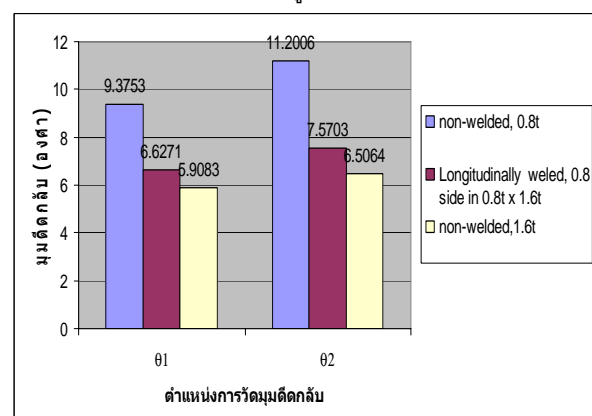
3. ผลการทดลอง

- การดีดตัวกลับจะแนวโน้มเพิ่มขึ้นเมื่อลดขนาดความหนาของชิ้นงานและเมื่อเพิ่มรัศมีพันธ์มากขึ้นดังรูปที่ 1



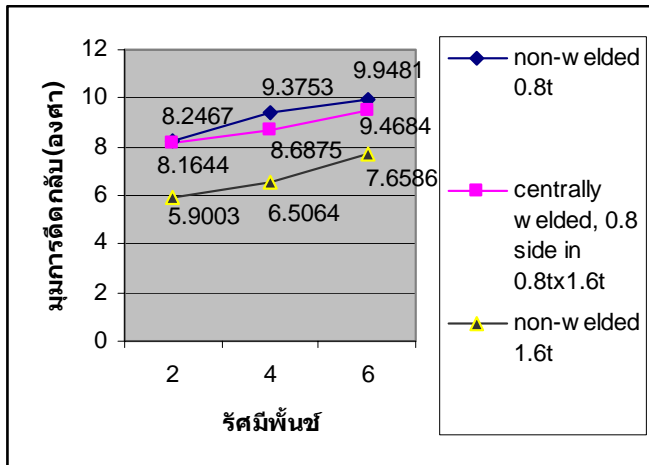
รูปที่ 1 แสดงความสัมพันธ์ของความหนาชิ้นงาน และรัศมีพันธ์ที่มีผลต่อการดีดตัวกลับ

- ในการนีเเนะเชื้อมตามความยาวของชิ้นงาน (longitudinally welded strips) การดีดตัวกลับของชิ้นงานจะมีค่าอยู่ระหว่าง โลหะแผ่นหนาและแผ่นบางซึ่งเป็นไปตามกฎการผสม (Rule of Mixture) ตามรูปที่ 2



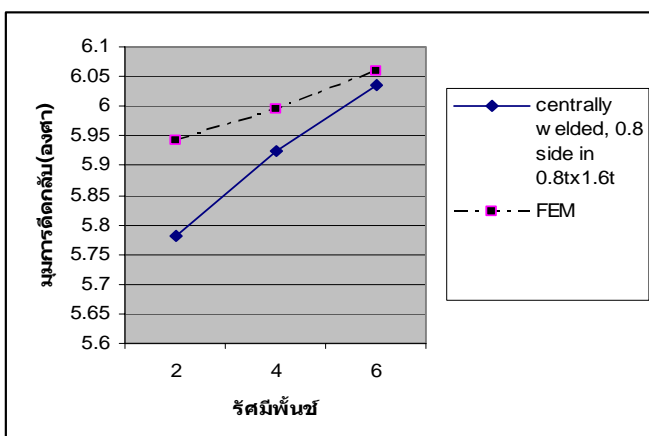
รูปที่ 2 แสดงการดีดตัวกลับของชิ้นงานขนาด 0.8 มม. ที่ไม่ได้เชื่อม กับ แนวเชื้อมตามความยาวของชิ้นงาน ด้านความหนา 0.8 มม.

3. ในกรณีแนวเชื่อมตรงกลางชิ้นงาน (Centrally welded strips) การติดตัวกลับจะมีแนวโน้มลดลงโดยสังเกตในด้านที่บาน เมื่อเปรียบเทียบกันด้านที่ความหนาเท่ากันในแผ่นชิ้นทดสอบที่ไม่ได้เชื่อม ส่วนในด้านที่ความหนามากกว่าจะมีการติดตัวกลับเหมือนกับความหนาเดียวกันที่แผ่นชิ้นทดสอบที่ไม่ได้เชื่อม ตามรูปที่ 3



รูปที่ 3 แสดงการติดตัวกลับของชิ้นงานขนาด 0.8 มม. ที่ไม่ได้เชื่อม กับแนวเชื่อมตรงกลางชิ้นงานด้านความหนา 0.8 มม.

4. ผลจากการวิเคราะห์ด้วยไฟไนต์เอลิเมนต์ คือการติดตัวกลับในกรณีแนวเชื่อมตามความยาวของชิ้นงาน (longitudinally welded strips) การติดตัวกลับของชิ้นงานจะเหมือนกับด้านที่หนากว่าในแผ่นที่ไม่ได้เชื่อม และในกรณีแนวเชื่อมตรงกลางชิ้นงาน (Centrally welded strips) การติดตัวกลับเกือบจะเหมือนกับด้านที่หนากว่าแผ่นที่ไม่ได้เชื่อม เพราะว่าในการวิเคราะห์เราไม่ได้คิดบริเวณ (HAZ) เข้าไปด้วย



รูปที่ 4 การเปรียบเทียบการซึ่งรูปจริงกับ
การวิเคราะห์ด้วยไฟไนต์เอลิเมนต์

6. เอกสารอ้างอิง

- [1]. Brain Taylor, "Metal Handbook Ninth Edition Volume 14 Forming and Forging" pp.877-897.
- [2]. Lange,K. 1985. Handbook of Metal Forming. McGraw-Hill USA.
- [3]. Rowe, G.W., 1991, Finite-Element Plasticity and Metal Forming Analysis, Cambridge University Press, New York, pp. 25-134.
- [4]. Mielnik,E.D. 1991. Metalworking Science and Engineering. McGraw-Hill,Inc. USA.
- [5]. S.H. Chang, J.M. Shin, Y.M Heo and D.G. Seo, "Springback characteristics of the tailor-welded strips in U-bending", Journal of Materials Processing Technology, [Electronic], 130-131, pp. 14-19, Available : Elsevier/Science Direct [2002].
- [6]. Y.H. Heo, Y.H. Choi, H.Y. Kim, D.G. Seo, "Characteristics of weld line movements for the deep wawing with drawbeads of tailor-welded blank ", Journal of Materials Processing Technology, [Electronic], 111, (2001) pp. 164-169.